

] 10 5r •

KAWASAKI STEEL GIHO

Vol.6 (1974) No.4

---

9x G Š p „7Á)-5d'öö 4 ì b µ "\$x ö2A \_ > | p M Å ~ © å ž i Ÿ b s8j

The Bauschinger Effect on the Mechanical Properties of Electric Resistance Welded  
High Strength Line Pipe

" £ \$ M (Eiichi Yokoyama) ± ☒ (Hirosi Otsubo) £%4 œ Mitsukuni  
Yamagata) i • Q Ü (Iwaki Sugimoto)

---

O[ " :

p „7Á)-5d'ö API 5LX X60 (18" ×6.35mm) † P1B \_ (ò ! ¥ - Ÿ I Ø b £ f N s k Ÿ ö>\*B  
g4#&i p b µ "\$x ö2A b š i †1\* K S ¥ - Ÿ œ † š < S4 'ö 9, †/œ 8 })° f N s5  
b s8j †1\* K>\* È L %o ¥ I Ø ( x † M • \ \ v \_0£'ì \_ | ~ Q b N †/œ W S )  
Ý c b \ > ~ \_0[(Ü [ A • 1) C ~ ? < K š g \ b7F ² ö 'c q \ b })° f N s5 | <  
\*f Ö M € d Å ~ © å ž i Ÿ € X>%& \ f N s5 †#Ý 8 Z/2&g [ A • 2)'ö b7F I Ø c Ç  
• å Ä «> \* § - " i [ b })° f N s5 \_ | W Z ? ^ ~ s8j † w E>\*0£'ì \_ | W Z v ¥ - Ÿ C X ^åá' 6 †`%oW N †Ø ²W80

• e c b l i a ? } 7 0 t [ A r M

UDC 621.774.2 : 539.4 : 539.389.2  
669.14.018.292-462.2 : 621.643.2

## 高張力中径電縫鋼管製造時の機械的性質 におよぼすバウシンガー効果の影響

■

■

■

■

■

■

■

横山栄一\*

Eiichi Yokoyama

大坪宏\*\*

Hiroshi Otsubo

山県光邦\*\*\*

Mitsukuni Yamagata

杉本巖城\*\*\*\*

Iwaki Sugimoto

Synopsis:

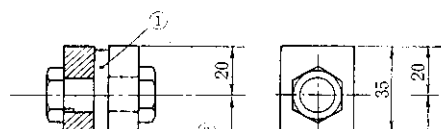
オフセットのアーチア、黒レジンは強度の問題より、白はいい

そこでバウシンガー効果の影響が大きいと考え

バウシンガー効率の実験における結果を示す

られる比較的  $t/D$  ( $t$ : 肉厚,  $D$ : 管外径) の小さい  
高張力中径電縫鋼管 API 5LX X60 (18in $\phi$  × 6.35  
mm) を対象に、

- (1) バウシンガー効果を考慮した降伏条件式
- (2) バウシンガー効率の実験結果



は円筒状試験片が用いられるが、電縫鋼管の素材

#### 2.5. 板厚方向強度分布

ため大橋ら<sup>6)</sup>の実験を参考にして Fig. 1 および

A, B造管法による2種類の管を平板展開後、

**Fig. 5** に引張-圧縮後の応力-ひずみ曲線を示す。

小さい管では、エッジの坐屈現象を防止するため

試験機の構造を変更した。この結果、Fig. 5 に示す

ように、引張-圧縮曲線が複数の曲線で構成される。

試験の場合と同様の傾向が見られた。したがって

めフィンバスロールにはいって円周方向の圧縮ひ

ずみが急速に増加する。一方、軸方向の伸張

推定に際しては、くりかえしひずみ履歴による加工硬化をいかに評価するかが重要な問題となる。

ひずみは成形が進むにつれてしだいに増加している。

**Fig. 7** に成形過程中の  $t/D$  の変化とともに

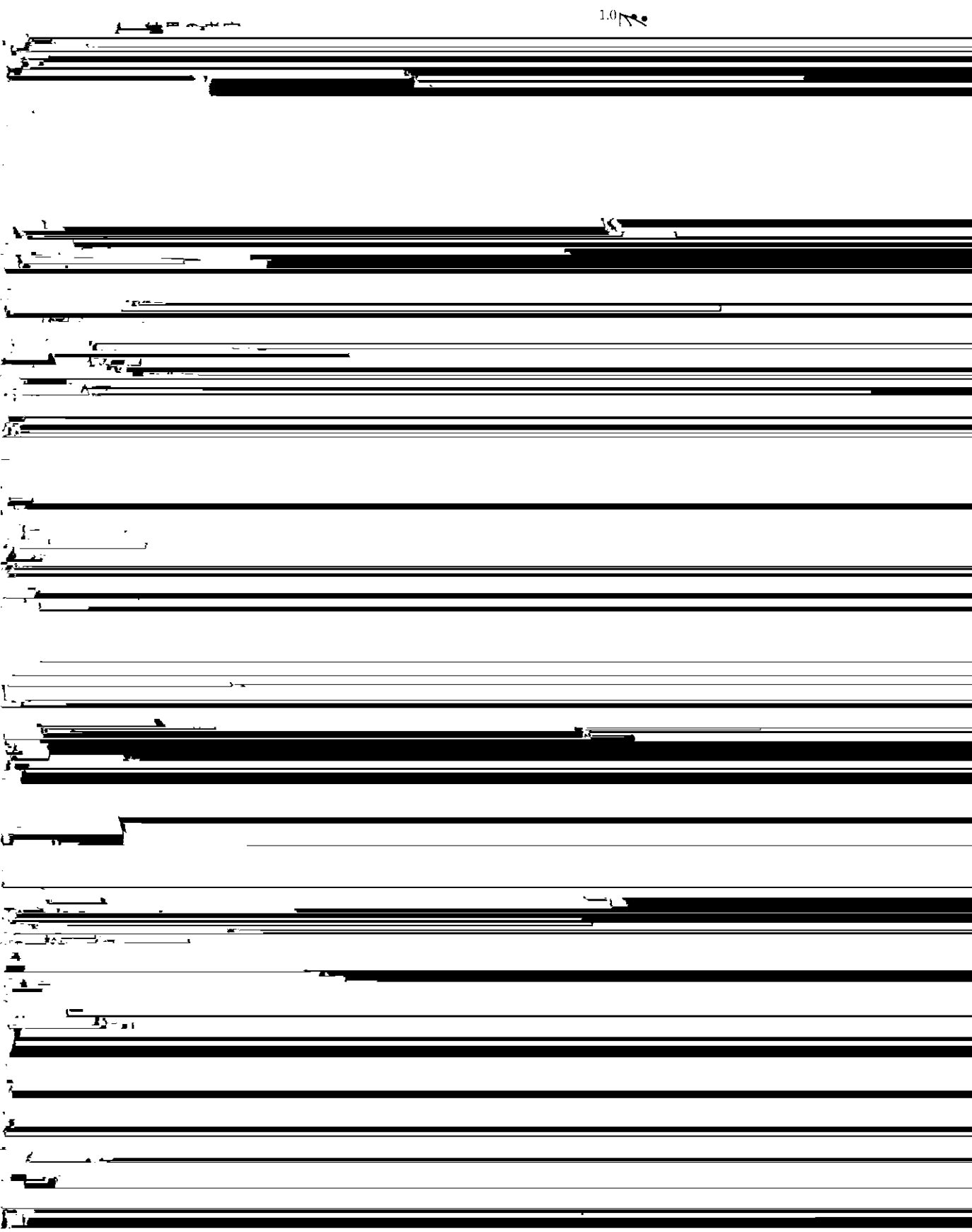
機械的性質の変化を示す。引張強度 (T.S.) の変

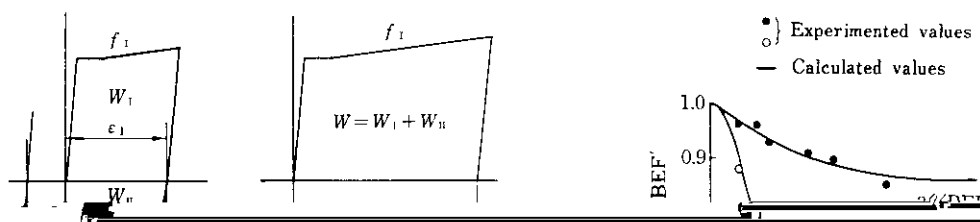
「水圧試験後」からサノマル管が採取。久留米

（株）サノマル、（株）日立製作所、（株）川崎重工業

（株）日立製作所、（株）川崎重工業、（株）日立製作所

1.0





## (3) 半径方向の応力

4.2 内圧降伏強度におよぼす応力状態の影響

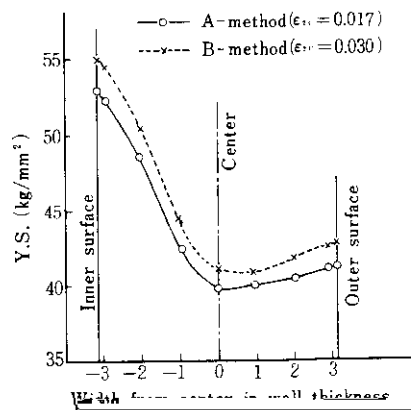
内圧降伏強度はバースト水圧試験値 ( $=X_B$ ) のほうがリングエキスパンジョン試験値 ( $=X_R$ ) にくらべて約  $3 \sim 6 \text{ kg/mm}^2$  高くなっている。これ

4.3 造管法の差による板厚方向降伏強度分布の推定

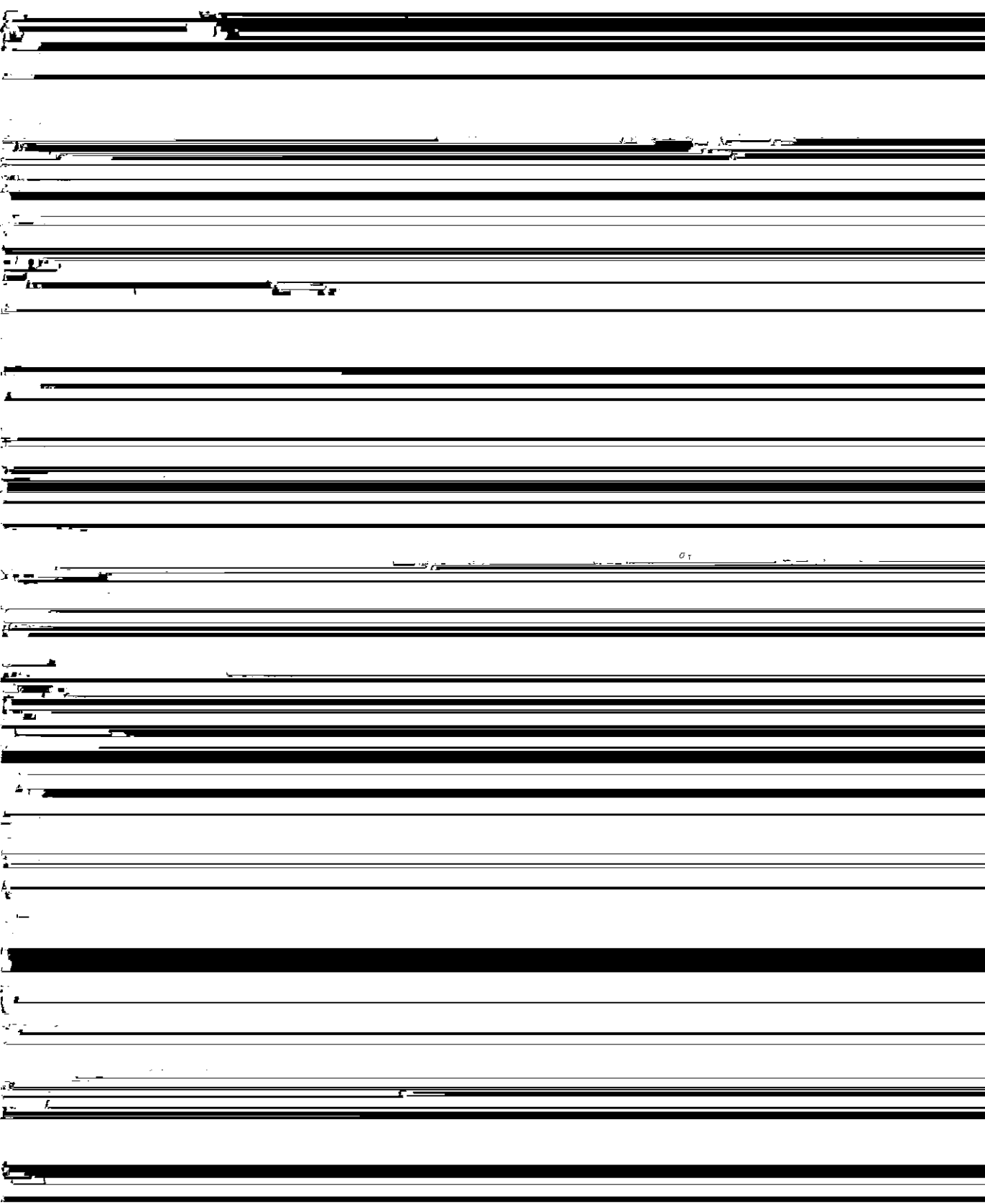
$$\bar{\sigma}_{0.005} = \frac{f_I(\varepsilon_{eq} + \bar{\varepsilon}) + f_{II}(\bar{\varepsilon})}{2} - \frac{\sqrt{3}}{2} \frac{f_I(\varepsilon_{eq} + \bar{\varepsilon}) - f_{II}(\bar{\varepsilon})}{2} \quad \dots \dots \quad (17)$$

(17) 式を変形すると 0.5% 耐力は (18) 式で表わせる。

$$\bar{\sigma}_{0.005} = f_I(\varepsilon_{eq} + 0.005) + \frac{2 - \sqrt{3} + (2 + \sqrt{3}) \text{ BEF}}{4}$$



$$\text{BEF} = (K_1 + \epsilon_c^2) / (K_1 + K_2 \epsilon_c^2)$$



$F = \sqrt{2} (\epsilon_2 + \epsilon_2 - \epsilon_1) \sigma_0$  あるから、

## 参考文献

- 1) A. H. Aranson, M. Korchunsky and I. I. Mihelich : Welding Research Supplement /1960/ 11 472r
- 2) T. C. Harrison, R. T. Weiner and G. D. Fearnehough : J. Iron & Steel Inst., (1972) 5, 334
- 3) P. M. Jamison and T. D. Head : Trans. Inst. Metal Fin., (1971) 1, 46